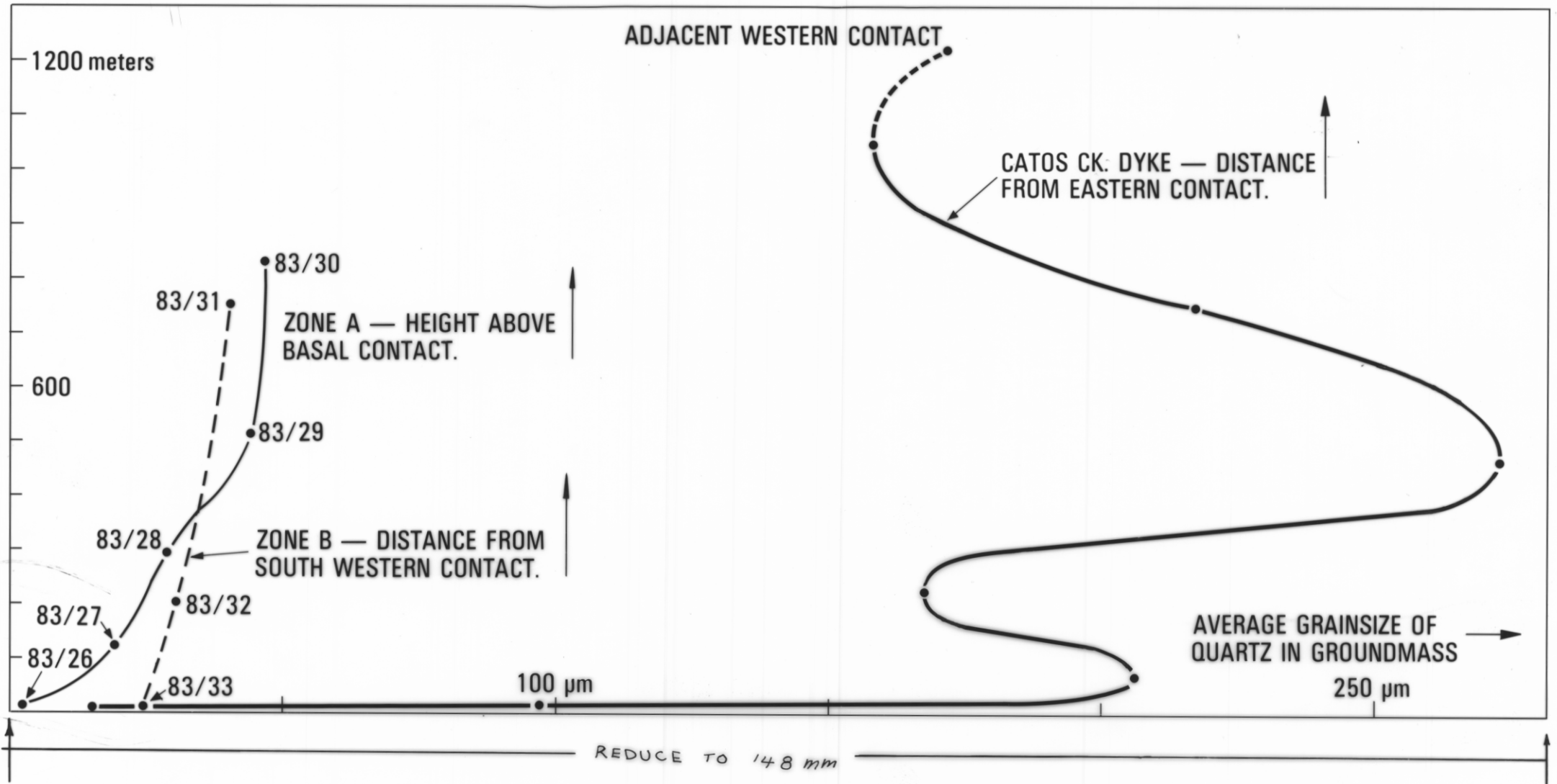


4981 D  
(FIG. 5)

887



4981 D  
(FIG. 5)